

Starkniederschlagshöhen und -spenden gemäß KOSTRA-DWD-2020

Rasterfeld 143143

(Zeile 143, Spalte 143)

Regenspende und Bemessungsniederschlagswerte in Abhängigkeit von Wiederkehrzeit T und Dauerstufe D

| Dauerstufe D | | Wiederkehrzeit T | | | | | | | | | | | | | | | | | |
|--------------|-----|------------------|------------|------|------------|------|------------|------|------------|------|------------|-------|------------|-------|------------|-------|------------|-------|------------|
| | | 1 a | | 2 a | | 3 a | | 5 a | | 10 a | | 20 a | | 30 a | | 50 a | | 100 a | |
| min | Std | mm | l / (s ha) | mm | l / (s ha) | mm | l / (s ha) | mm | l / (s ha) | mm | l / (s ha) | mm | l / (s ha) | mm | l / (s ha) | mm | l / (s ha) | mm | l / (s ha) |
| 5 | | 6,3 | 210,0 | 7,9 | 263,3 | 8,9 | 296,7 | 10,2 | 340,0 | 12,0 | 400,0 | 14,0 | 466,7 | 15,2 | 506,7 | 16,9 | 563,3 | 19,2 | 640,0 |
| 10 | | 8,6 | 143,3 | 10,8 | 180,0 | 12,1 | 201,7 | 13,8 | 230,0 | 16,3 | 271,7 | 18,9 | 315,0 | 20,6 | 343,3 | 22,9 | 381,7 | 26,0 | 433,3 |
| 15 | | 10,0 | 111,1 | 12,5 | 138,9 | 14,0 | 155,6 | 16,0 | 177,8 | 18,9 | 210,0 | 22,0 | 244,4 | 23,9 | 265,6 | 26,5 | 294,4 | 30,2 | 335,6 |
| 20 | | 11,0 | 91,7 | 13,7 | 114,2 | 15,4 | 128,3 | 17,6 | 146,7 | 20,8 | 173,3 | 24,1 | 200,8 | 26,3 | 219,2 | 29,1 | 242,5 | 33,2 | 276,7 |
| 30 | | 12,4 | 68,9 | 15,5 | 86,1 | 17,4 | 96,7 | 19,9 | 110,6 | 23,6 | 131,1 | 27,3 | 151,7 | 29,7 | 165,0 | 32,9 | 182,8 | 37,5 | 208,3 |
| 45 | | 13,9 | 51,5 | 17,4 | 64,4 | 19,5 | 72,2 | 22,3 | 82,6 | 26,4 | 97,8 | 30,5 | 113,0 | 33,3 | 123,3 | 36,9 | 136,7 | 42,0 | 155,6 |
| 60 | 1 | 15,0 | 41,7 | 18,7 | 51,9 | 21,0 | 58,3 | 24,1 | 66,9 | 28,4 | 78,9 | 33,0 | 91,7 | 35,9 | 99,7 | 39,8 | 110,6 | 45,3 | 125,8 |
| 90 | 1,5 | 16,6 | 30,7 | 20,7 | 38,3 | 23,3 | 43,1 | 26,7 | 49,4 | 31,5 | 58,3 | 36,5 | 67,6 | 39,8 | 73,7 | 44,1 | 81,7 | 50,2 | 93,0 |
| 120 | 2 | 17,8 | 24,7 | 22,3 | 31,0 | 25,0 | 34,7 | 28,6 | 39,7 | 33,8 | 46,9 | 39,2 | 54,4 | 42,7 | 59,3 | 47,3 | 65,7 | 53,9 | 74,9 |
| 180 | 3 | 19,6 | 18,1 | 24,5 | 22,7 | 27,6 | 25,6 | 31,5 | 29,2 | 37,3 | 34,5 | 43,2 | 40,0 | 47,0 | 43,5 | 52,1 | 48,2 | 59,4 | 55,0 |
| 240 | 4 | 21,0 | 14,6 | 26,2 | 18,2 | 29,5 | 20,5 | 33,7 | 23,4 | 39,9 | 27,7 | 46,2 | 32,1 | 50,3 | 34,9 | 55,8 | 38,8 | 63,6 | 44,2 |
| 360 | 6 | 23,1 | 10,7 | 28,8 | 13,3 | 32,4 | 15,0 | 37,1 | 17,2 | 43,8 | 20,3 | 50,8 | 23,5 | 55,3 | 25,6 | 61,3 | 28,4 | 69,8 | 32,3 |
| 540 | 9 | 25,3 | 7,8 | 31,7 | 9,8 | 35,6 | 11,0 | 40,7 | 12,6 | 48,1 | 14,8 | 55,7 | 17,2 | 60,7 | 18,7 | 67,3 | 20,8 | 76,7 | 23,7 |
| 720 | 12 | 27,1 | 6,3 | 33,8 | 7,8 | 38,0 | 8,8 | 43,5 | 10,1 | 51,4 | 11,9 | 59,5 | 13,8 | 64,9 | 15,0 | 71,9 | 16,6 | 81,9 | 19,0 |
| 1080 | 18 | 29,7 | 4,6 | 37,1 | 5,7 | 41,7 | 6,4 | 47,7 | 7,4 | 56,4 | 8,7 | 65,3 | 10,1 | 71,1 | 11,0 | 78,8 | 12,2 | 89,8 | 13,9 |
| 1440 | 24 | 31,7 | 3,7 | 39,6 | 4,6 | 44,5 | 5,2 | 50,9 | 5,9 | 60,2 | 7,0 | 69,7 | 8,1 | 76,0 | 8,8 | 84,1 | 9,7 | 95,9 | 11,1 |
| 2880 | 48 | 37,1 | 2,1 | 46,3 | 2,7 | 52,0 | 3,0 | 59,6 | 3,4 | 70,4 | 4,1 | 81,6 | 4,7 | 88,9 | 5,1 | 98,4 | 5,7 | 112,2 | 6,5 |
| 4320 | 72 | 40,6 | 1,6 | 50,8 | 2,0 | 57,0 | 2,2 | 65,3 | 2,5 | 77,1 | 3,0 | 89,4 | 3,4 | 97,4 | 3,8 | 107,9 | 4,2 | 122,9 | 4,7 |
| 5760 | 96 | 43,4 | 1,3 | 54,2 | 1,6 | 60,9 | 1,8 | 69,7 | 2,0 | 82,3 | 2,4 | 95,4 | 2,8 | 103,9 | 3,0 | 115,1 | 3,3 | 131,2 | 3,8 |
| 7200 | 120 | 45,6 | 1,1 | 57,0 | 1,3 | 64,0 | 1,5 | 73,3 | 1,7 | 86,6 | 2,0 | 100,3 | 2,3 | 109,3 | 2,5 | 121,1 | 2,8 | 138,0 | 3,2 |
| 8640 | 144 | 47,5 | 0,9 | 59,4 | 1,1 | 66,7 | 1,3 | 76,3 | 1,5 | 90,2 | 1,7 | 104,5 | 2,0 | 113,9 | 2,2 | 126,2 | 2,4 | 143,8 | 2,8 |
| 10080 | 168 | 49,2 | 0,8 | 61,5 | 1,0 | 69,1 | 1,1 | 79,0 | 1,3 | 93,4 | 1,5 | 108,2 | 1,8 | 117,9 | 1,9 | 130,6 | 2,2 | 148,9 | 2,5 |

Starkniederschlagshöhen und -spenden gemäß KOSTRA-DWD-2020

Rasterfeld 143143

(Zeile 143, Spalte 143)

Örtliche Unsicherheiten in Abhängigkeit von Wiederkehrzeit T und Dauerstufe D

| Dauerstufe D | | Wiederkehrzeit T | | | | | | | | |
|--------------|-----|------------------|-----|-----|-----|------|------|------|------|-------|
| | | 1 a | 2 a | 3 a | 5 a | 10 a | 20 a | 30 a | 50 a | 100 a |
| min | Std | ± % | ± % | ± % | ± % | ± % | ± % | ± % | ± % | ± % |
| 5 | | 12 | 11 | 11 | 11 | 12 | 12 | 12 | 13 | 13 |
| 10 | | 11 | 12 | 13 | 14 | 15 | 16 | 16 | 17 | 17 |
| 15 | | 12 | 14 | 15 | 16 | 18 | 18 | 19 | 19 | 20 |
| 20 | | 14 | 16 | 17 | 18 | 19 | 20 | 20 | 21 | 22 |
| 30 | | 15 | 17 | 18 | 20 | 21 | 22 | 22 | 23 | 23 |
| 45 | | 16 | 18 | 19 | 20 | 22 | 23 | 23 | 24 | 24 |
| 60 | 1 | 16 | 18 | 20 | 21 | 22 | 23 | 23 | 24 | 24 |
| 90 | 1,5 | 16 | 18 | 19 | 21 | 22 | 23 | 23 | 24 | 24 |
| 120 | 2 | 16 | 18 | 19 | 20 | 21 | 22 | 23 | 23 | 24 |
| 180 | 3 | 15 | 17 | 18 | 20 | 21 | 22 | 22 | 23 | 23 |
| 240 | 4 | 14 | 17 | 18 | 19 | 20 | 21 | 22 | 22 | 23 |
| 360 | 6 | 14 | 16 | 17 | 18 | 19 | 20 | 21 | 21 | 22 |
| 540 | 9 | 13 | 15 | 16 | 17 | 18 | 19 | 20 | 20 | 21 |
| 720 | 12 | 13 | 14 | 15 | 16 | 18 | 18 | 19 | 19 | 20 |
| 1080 | 18 | 12 | 14 | 15 | 16 | 17 | 18 | 18 | 19 | 19 |
| 1440 | 24 | 12 | 14 | 14 | 15 | 16 | 17 | 18 | 18 | 19 |
| 2880 | 48 | 12 | 13 | 14 | 15 | 15 | 16 | 16 | 17 | 17 |
| 4320 | 72 | 13 | 13 | 14 | 14 | 15 | 16 | 16 | 16 | 17 |
| 5760 | 96 | 14 | 14 | 14 | 15 | 15 | 16 | 16 | 16 | 17 |
| 7200 | 120 | 14 | 14 | 14 | 15 | 15 | 16 | 16 | 16 | 17 |
| 8640 | 144 | 15 | 14 | 15 | 15 | 15 | 16 | 16 | 16 | 17 |
| 10080 | 168 | 15 | 15 | 15 | 15 | 16 | 16 | 16 | 16 | 17 |

Parameter für abweichende T und D

Lokationsparameter ξ (Xi)

15,51049387

Skalenparameter α (Alpha)

5,3726748

Formparameter κ (Kappa)

-0,1

1. Koutsoyiannis-Parameter θ (Theta)

0,04469691

2. Koutsoyiannis-Parameter η (Eta)

0,77451183

Parameter für dauerstufenübergreifende Extremwertschätzung nach KOUTSOYIANNIS et al. 1998.

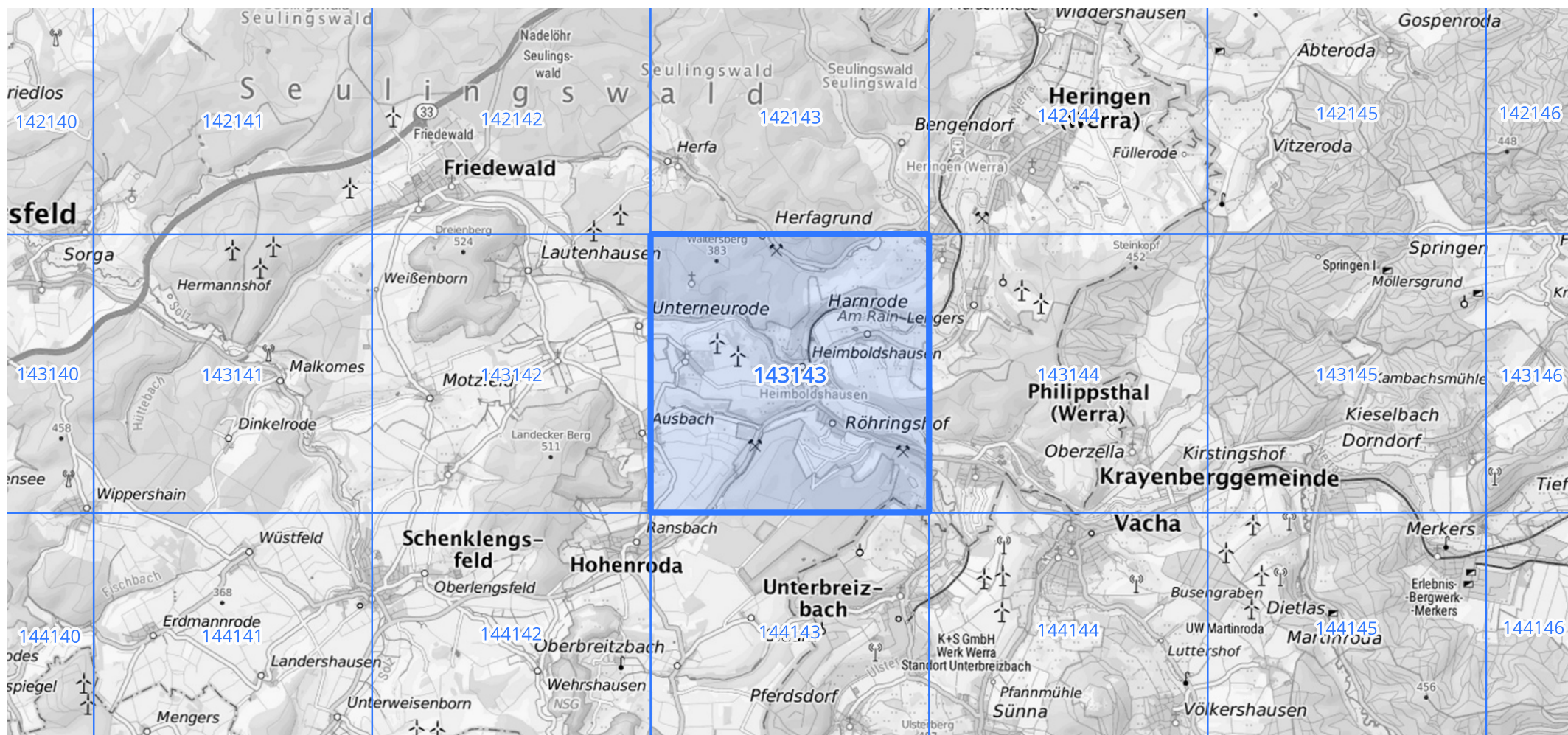
Siehe auch Anwendungshilfe zu KOSTRA-DWD-2020 des Deutschen Wetterdienstes.

Starkniederschlagshöhen und -spenden gemäß KOSTRA-DWD-2020

Rasterfeld 143143

(Zeile 143, Spalte 143)

Übersichtskarte des Rasterfeldes 143143, M 1 : 100 000



Quelle Rasterdaten: KOSTRA-DWD-2020 des Deutschen Wetterdienstes, Stand 12/2022.

Seite 3 von 3

Kartendarstellung: © Bundesamt für Kartographie und Geodäsie (2023), Datenquellen: https://sgx.geodatenzentrum.de/web_public/gdz/datenquellen/Datenquellen_TopPlusOpen.html

Für die Richtigkeit und Aktualität der Angaben wird keine Gewähr übernommen. Erstellt 01/2023.